

специальных терморегулирующих покрытий решают за счет применения современного математического моделирования тепловых процессов бортовой электронной аппаратуры на всех стадиях проектирования и ее жизненного цикла.

На этапе разработки эскизного проекта производится выбор оптической технической предложении по реализации конструкции бортовой электронной аппаратуры КА. Для этого предварительно осуществляется создание макромодели тепловых процессов и распределения тепловой мощности между микроэлектронными узлами за счет лучистого и кондуктивного теплообмена в целях определения интегральных температур микроэлектронных узлов и граничных условий для последующего детального моделирования тепловых процессов. На основе моделей тепловых процессов макро- и микроуровня подготавливается решение о необходимых изменениях в конструкции печатных узлов и блока электронной аппаратуры КА.

При утверждении технического проекта на основе тепловых расчетов планируются гермовакуумные испытания и осуществляется прогнозирование изменений температуры печатных узлов и компонентов, входящих в состав исследуемой аппаратуры в зависимости от режима работы. На данном этапе производится верификация созданных моделей тепловых процессов, уточнение теплодинамических параметров электронных компонентов, а также осуществляется поиск возможных дефектов и неисправностей, связанных с нарушением температурного режима функционирования и формирования способов их исправления.

Верифицированные таким образом модели тепловых процессов позволяют повысить достоверность расчета температуры компонентов и печатных узлов, входящих в состав КА, а также оценить эффективность технологии иных принятых конструктивных решений. На основе представленных моделей тепловых процессов производится оценка различных внешнеподъемных ситуаций, способных возникать в процессе эксплуатации, а также оценивать изменение температурного поля бортовой электронной аппаратуры КА при выходе из строя определенной доли зарезервированных компонентов, что наиболее полно соответствует философии информационной поддержки жизненного цикла.

Полученные значения расчетного температурного поля печатных узлов и компонентов, входящих в состав блоков бортовой электронной аппаратуры КА, позволяют подтвердить и весторонне оценить эффективность применения современных технологий термостабилизации: тепловых трубок, контурных тепловых трубок, теплопроводящих панелей, современных алмазных СУД-теплоотводов и т.д.

Результатом данного многостороннего применения моделирования тепловых процессов является безусловное повышение эффективности разработки современных образцов бортовой электронной аппаратуры КА.

а также выбор наиболее оптимальных конструктивных решений с точки зрения массы, габаритов и стоимости и общих показателей эффективности разрабатываемого изделия.

УДК 541.64: 667.7; 612.3.049.77

Условия применимости цветных полимидных слоев для микросистем функционального назначения

Кравцова В. Д.¹, Умерзакова М.¹, Коробова Н. Е.², Тимошенков С. П.², Л. Т. Н., профессор, Гурманова Е. Н.³, Исаикова О. Я.⁴, Исакаков Р. М.⁵

¹Институт химических наук им. А. Б. Бекетурова

Алматы, Республика Казахстан

²Национальный исследовательский университет

«Московский институт электронной техники»

korobova3@mail.ru

³Казахский национальный университет им. аль-Фараби

Алматы, Республика Казахстан

⁴Институт нефтехимического синтеза имени А. В. Топчева РАН Россия

⁵Казахстанско-Британский технический университет

Алматы, Республика Казахстан

Синтез и исследование свойств новых полимеров и полимерных композиций являются приоритетным направлением современной науки в связи с их уникальными физико-механическими, термическими, электрооптическими и другими свойствами, определяющими применение материалов на их основе в различных областях, в том числе в полимерной оптике.

Для целей оптики, оптоэлектроники и других областей науки и техники наиболее широко применяются такие известные полимеры, как полиметилметакрилат, поликарилонитрил, полиамили, полиэтилентерефталат и некоторые другие высокомолекулярные соединения, на основе которых создаются также различные окрашенные композиции [1–2]. В последние годы с этой же целью разрабатываются новые материалы на основе полимидов, наиболее изученным из которых является полипиromедиличимид. Благодаря хорошим электрооптическим, физико-механическим свойствам и повышенной термической устойчивости этот полимер находит применение в оптических технологиях при создании электрофотографических, фототермопластических и жидкокристаллических сред, оптических модуляторов и переключателей, люминесцентных и других устройств [1]. Особенностью этого полимида является характерная для него окраска от светло-желтой до коричневой. Это является причиной того, что УФ-граница прозрачности тонких полипиromедиличимидных пленок располагается в области 370–420 нм. При введении в полипиromедиличимид других соединений оптические свойства нового материала

по сравнению с исходным полимером снижаются. В последние годы появились сообщения о возможности применения в оптоэлектронике полимидов неароматического строения, поглощающих при $\lambda < 400$ нм.

К этой группе полимеров относятся также разработанные нами полимиды с трициклоценовыми звеньями в основной цепи, образующие стабильные гомогенные композиции с другими соединениями и обладающие высокими оптическими характеристиками [2]. Цель настоящей работы состояла в исследовании особенностей образования новых окрашенных композиций, их оптических, электрических и механических свойств.

Исследования проводились с растворами полимида (ПИ), синтезированного по методике [2] в N,N'-диметилакетамиде (ДМАА). Для получения окрашенного полимида применяли краситель активный ярко-красный 6С фирмы ООО «Уралхиминвест» (г. Уфа, Россия). Композиции ПИ с красителем получали смешиванием 20% растворов полимера с растворами красителя в этом же растворителе. Концентрацию красителя меняли от 0,1 до 5,0 мас. %. Из полученных растворов с помощью металлических шаблонов на стеклянных подложках формировали пленки толщиной 27 и 55 мкм, которые прогревали в воздушной среде до 250–350°C в течение 60 мин. Объектами исследования были пленки из композиций алиптического полимида с известным синтетическим красителем – активным ярко-красным 6С. Серию образцов получали механическим смешиванием компонентов. Для некрашеных пленок алиптического полимида ранее [3] нами было показано, что они являются более прозрачными в ультрафиолетовой части спектра. УФ-граница пленки этого ПИ толщиной 26 мкм находится в области 240 нм, для пленок толщиной 9 и 6 мкм – при 140 и 120 нм. Следует также отметить, что пленки при любой толщине и независимо от природы растворителя, в котором проводился синтез, имеют окраску от желтого до желто-коричневого. В табл. 1 приведены некоторые свойства пленок алиптического полимида (ПИ-1) в сравнении с полипиромелитимидом (ПИ-2). Известно, что оптические свойства полимерных пленок зависят от ряда факторов – толщины образцов, их подготовленности, условий проведения измерений и некоторых других. В настоящей работе изучена зависимость коэффициента пропускания в области 300–1400 нм от подготовленности образцов, в частности температуры их термообработки. На рис. 1 приведены спектры пропускания пленок толщиной ≈27 мкм, прогретых при 150, 200, 250, 300 и 350°C. Можно видеть, что интенсивность и границы пропускания пленок, обработанных при температурах 150–300°C, близки. Однако после прогревания при 350°C наблюдается смещение в длинноволновую область. Это может быть связано с появлением окраски в пленках за счет изменения структуры макромолекул, являющейся следствием протекающих при высоких температурах реакций межмолекулярного сплавления и выделения в результате деструкции окрашенных низкомолекулярных соединений.

Таблица 1. Свойства полимидных пленок

Характеристики	Полимер	
	ПИ-1	ПИ-2
Плотность, кг/м ³	1,21	1,23
УФ-граница прозрачности пленки, нм	120–240 (толщина 9–28 мкм)	320–430 (толщина 0,34–19 мкм)
Показатель преломления, 25°C	1,525	1,59–1,70
Прочность на разрыв, МПа	60–50	70–150
Модуль упругости, МПа	4200	2000–3000
Температура начала разложения, °C:		
– на воздухе	370	420
– в атмосфере инертного газа	420	более 450
Удельное объемное сопротивление, Ом·м	315	312
Поверхностное сопротивление, Ом	$(2,4\text{--}3,1)\cdot10^{15}$	$(4,7\text{--}6,7)\cdot10^{15}$

В настоящей работе установлено, что при добавлении в растворы ПИ от 1,0 до 2,0 мас. % синтетического красителя образуются композиции, из которых можно получить прозрачные окрашенные пленки. На рис. 2 представлены спектры пропускания полимидных пленок толщиной ≈27 мкм, содержащие разное количество красителя.

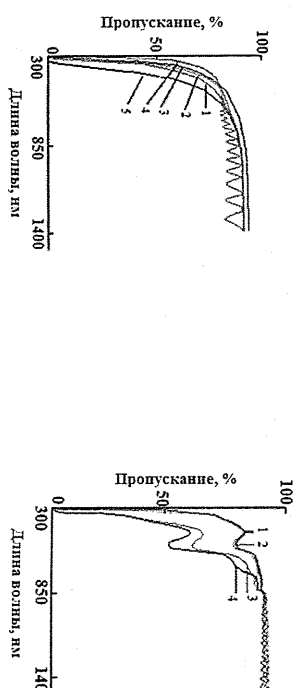


Рис. 1. Спектры пропускания в виломимидом и УФ-диапазонах пленок ПИ толщиной 27 мкм, высущенных красителя при 150 (1), 200 (2), 250 (3), 300 (4) и 350°C (5)

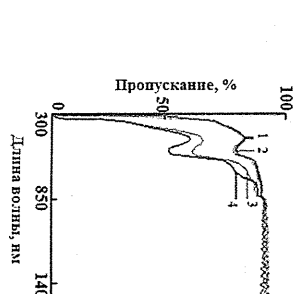


Рис. 2. Спектры пропускания в виломимидом и УФ-диапазонах пленок ПИ толщиной 27 мкм, высущенных красителя

По сравнению с исходным полимидом пропускающая способность композиции при концентрации красителя до 2,0% в видимой области снижается на 22–25%. При большем количестве красителя, до 5 мак. %, пропускающая способность пленки снижается еще больше. При концентрации красителя в полимиде до 5 мак. % по термическим и физико-механическим свойствам новый пленочный материал не уступал исходному полимиду. При большем количестве этого компонента (до 7–10 мак. %) термостойкость начинает незначительно снижаться, что подтверждается результатами термогравиметрического анализа. Таким образом, по термической устойчивости композиции, содержащие до 5 мак. % красителя, сравнимы с исходным ПИ. Исследование электрических и механических свойств окрашенных полимидных пленок показало их высокий уровень (табл. 2). При невысокой концентрации красителя, до 0,1 мак. %, значения диэлектрической проницаемости сравнимы с исходным полимидом. Однако далее наблюдается небольшое ее возрастание, и при 3,0% окрашивавшего соединения она достигает 3,80–4,02.

Таблица 2. Механические свойства алициклического ПИ и его композиций с красителем (25°C)

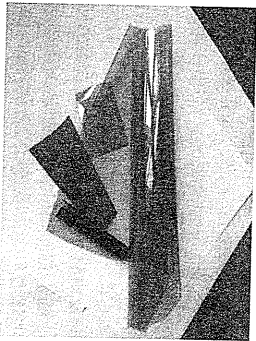
Концентрация красителя, мак. %	Физико-механические свойства		
	$\sigma_{\text{р}}$, МПа	E, МПа	1, %
0	145	4200	24
1,00	150	4190	26
2,00	155	4150	30
3,00	155	4120	30
4,00	140	4000	24

Исследования показали, что через

толщиной 55 мкм с 3,2 мак. % красителя снижается на 70–80%, в то время как

диэлектрические характеристики теряют всего 40–50% от своих первоначальных значений. При выбранной концентрации красителя окрашенные полимидные пленки, фотоснимки которых приведены на рис. 3, являются прозрачными.

Авторы считают, что в данной ракурсе окрашенных полимидных пленок



положения и результаты: при концентрации красителя 0,5–1,0 мак. % коэффициент пропускания пленочного материала толщиной ≈ 27 мкм в области 400–900 нм составляет 80–90%, в случае 1,2–2,2 мак. % красителя этот показатель равен 60–70%. Установлено, что температура термообработки окрашенного материала в интервале 150–300°C практически не влияет на его пропускающую способность. Термическая устойчивость и механические свойства окрашенных композиционных пленок сравнимы со свойствами исходного полимида. Изучено поведение новой полимидной композиции в среде жидкого азота и установлено, что через 4 ч. механическая прочность полимидных пленок толщиной 55 мкм с 3,0 мак. % красителя, как и исходного полимида, снижается на 70–80%, в то время как электрическая прочность теряет всего 40–50% от своих первоначальных значений. Окрашенные композиции на основе алициклического полимида благодаря высоким оптическим характеристикам и значению электрической прочности, а также термической устойчивости и механической прочности перспективны для получения термостойких светофильтров, которые могут применяться в условиях как высоких, так и низких температур, в качестве материалов лазерной оптики, а также для производства окрашенных термостойких химических волокон.

Работа выполнена при финансовой поддержке Министерства образования и науки Республики Казахстан в рамках государственного заказа по тематике «Разработка технологии производства нового полимерного лампа для изготовления термостойких электропроизводственных материалов (2015–2017 гг.), а также при финансовой поддержке Российской научной фонда при выполнении проекта №19-00177 «Исследование и разработка интеллектуальных МЭМС-датчиков с функциями самокалибровки и автоматизированных испытательных комплексов»

Литература

1. Серова В. Н. Полимерные оптические материалы. СПб.: Научные основы и технологии. 2015, 384 с.
2. Kravtsova V.D., Umerzakova M., Iskakov R., Prikhodko O., Korobova N. Optical Transparent Fluoro-Containing Poly-imides Films with Low Dielectric Permeability. IC Micro- and nanoelectronics and Quantum (ICMNE-2014). – Zvenigorod, Russia, 6–8 окт. 2014. — Р1-03.
3. Zhubanov B. A., Kravtsova V. D., Matnishyan A. A., Umerzakova M. B., Iskakov R. M., Prikhod'ko O. Yu., Alpyryshayeva B. E. Optical and Electric Properties of Composite Films Based on Aliphatic Polyimide and Polyaniline // Optics and Spectroscopy, 118 (4), 537–541 (2015).